

КОМБИНАЦИОННОЕ РАССЕЯНИЕ СВЕТА В $Cd_{0,2}Hg_{0,8}Te$ В БЛИЗИ РЕЗОНАНСА НА ЭНЕРГЕТИЧЕСКОЙ ЩЕЛИ E_1

Ю.А. Алещенко, Л.К. Водопьянов

Методом спектроскопии комбинационного рассеяния света исследовались колебательные возбуждения в $Cd_{0,2}Hg_{0,8}Te$ вблизи резонанса на щели E_1 . Подтверждена природа полосы S_- , связанной с комбинированной модой LO-фонон-междуподзонное электронное возбуждение.

Полупроводниковые твердые растворы $Cd_{1-x}Hg_xTe$ нашли широкое применение в качестве материала для изготовления детекторов излучения инфракрасного диапазона благодаря возможности плавной перестройки ширины запрещенной зоны при выращивании кристаллов от 0 ($x = 0,84$) до 1,6 эВ ($x = 0$). Исследования таких соединений методом спектроскопии комбинационного рассеяния (КР) света проводились в работах /1-5/.

В настоящей работе представлены результаты КР света в твердых растворах $Cd_{0,2}Hg_{0,8}Te$ вблизи резонанса на энергетической щели E_1 . Изучались образцы с проводимостями n- и p-типов, имеющие концентрации носителей заряда $10^{14}-10^{16} \text{ см}^{-3}$. После механической обработки образцы подвергались травлению в растворе брома в метаноле.

Спектры КР при температуре 80-100 К возбуждались излучением Ar^+ лазера с длиной волны 5145 Å в геометрии обратного рассеяния от плоскости (111). Для увеличения отношения сигнал/шум использовалась также геометрия "на отражение" под углом Брюстера. Вследствие сильного поглощения света в резонансных условиях возбуждения плотность мощности излучения на поверхности образца не превышала 10 Вт/см^2 . Рассеянный свет анализировался двойным монохроматором ДФС-24 и регистрировался ФЭУ-79 в режиме счета фотонов. Спектральная ширина щелей монохроматора не превышала 2 см^{-1} .

На рис. 1 приведены спектры КР p- $Cd_{0,2}Hg_{0,8}Te$ с концентрацией дырок $\sim 10^{16} \text{ см}^{-3}$ в поляризационных конфигурациях $Z(Y,Y)\bar{Z}$ и $Z(X,X)\bar{Z}$ (оси X, Y, Z определены следующим образом: X(110), Y(112), Z(111)). В первой конфигурации правилами отбора разрешены LO- и TO-моды, во втором случае — только TO-моды. Проявление моды LO_{HgTe} во второй конфигурации вызвано, вероятно, несовершенством кристалла или неточной установкой поляризатора и анализатора. Полоса при $156,5 \text{ см}^{-1}$ связана с LO- и TO-модами CdTe-подобного колебания, которые не удалось разрешить в спектре.

Спектры на рис. 1 можно интерпретировать с позиций двухмодового характера системы $Cd_{1-x}Hg_xTe$. Действительно, в области промежуточных концентраций x в спектрах проявляются два набора продольных и поперечных оптических мод, один из которых характеризует CdTe-подобные, а другой HgTe-подобные колебания. Температурная зависимость интенсивности полосы при 106 см^{-1} позволяет отнести ее к линии КР первого порядка. Она близка по частоте к обнаруженной ранее в спектрах КР $Cd_{0,2}Hg_{0,8}Te$ дефектной моде при 108 см^{-1} , связанной с замещением Te на Hg в узлах кристаллической решетки (антиструктурный дефект) /3/. Помеченная звездочкой полоса при 135 см^{-1} обусловлена кластерным эффектом, то есть тенденцией к группированию в твердом растворе $Cd_{1-x}Hg_xTe$ катионов одного вида (Cd или Hg) вокруг анионов (Te) /1,2/.

Слабое плечо при 132 см^{-1} , которое ранее приписывалось также кластерной моде /1/, было интерпретировано как комбинированная мода LO-фонон — междуподзонное электронное возбуждение (S_- мода). Подобная мода наблюдалась ранее в спектрах КР InAs /6/. Правомерность такой интерпретации подтверждается следующими соображениями. Поверхностный изгиб зон, связанный с наличием поверхностных состояний, в случае $Cd_{1-x}Hg_xTe$ более ярко выражен в узкозонном материале, то есть в материале, обогащенному Hg. Это связано с тем, что по мере замещения ионов Cd ионами Hg силовая константа связи Cd—Te увеличивается, а связи Hg—Te уменьшается, дестабилизируя тем самым узкозонный материал /7/. Вызванная таким образом активность поверхности кристалла обуславливает ее быстрое окисление. В /8/ было показано, что уже на начальном этапе формирования окисла на поверхности HgTe и $Cd_{0,2}Hg_{0,8}Te$ в нем воз-

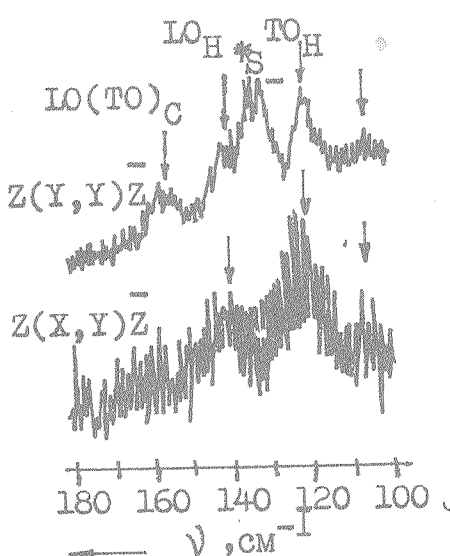


Рис. 1. Результаты поляризационных измерений $p\text{-Cd}_{0.2}\text{Hg}_{0.8}\text{Te}$ при температуре 80 К и возбуждении излучением с длиной волны 5145 Å. Спектр в конфигурации $Z(X,Y)\bar{Z}$ снят при впятеро большем усилении. Индексы С и Н относятся соответственно к CdTe- и HgTe-подобным модам.

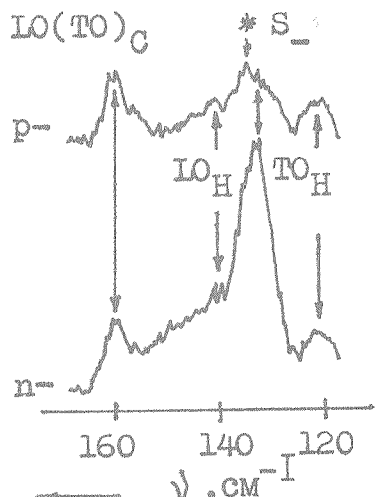


Рис. 2

Рис. 2. Неполяризованные спектры KP $\text{Cd}_{0.2}\text{Hg}_{0.8}\text{Te}$ p - и n -типа, снятые при температуре 100 К и возбуждении излучением с длиной волны 5145 Å. Обозначения те же, что и на рис. 1.

никает фиксированный положительный заряд. Это означает, что в указанных материалах независимо от типа проводимости объема приповерхностный слой толщиной порядка дебаевского радиуса экранирования (~ 100 Å) всегда обогащен электронами, а в случае материала p -типа является инверсионным. Именно наличие такого слоя электронной проводимости вблизи поверхности узкозонного материала служит причиной аномалий в температурных зависимостях коэффициента Холла и других параметров переноса /9/. Сильные электрические поля, связанные с аккумулирующими и инверсионными слоями вблизи поверхности $\text{Cd}_{0.2}\text{Hg}_{0.8}\text{Te}$, могут приводить к поверхностно-квантовым эффектам, вызывающим расщепление зон на отдельные подзоны. В полярных полупроводниках коллективные возбуждения электронов в этих слоях взаимодействуют с электрическим полем LO-фононов. Эти возбуждения могут проявляться в спектрах резонансного KP через механизмы рассеяния на LO-фононах /10/.

Отметим, что особенность, приписанная S_- моде, наблюдалась также в спектрах KP $p\text{-Cd}_{0.2}\text{Hg}_{0.8}\text{Te}$ /3,4/, где было показано, что возможность регистрации S_- моды зависит от условий обработки поверхности образца. Однако такая интерпретация полосы KP при 132 cm^{-1} не была должным образом обоснована.

Для изучения природы полосы KP при 132 cm^{-1} нами были проведены измерения образцов $\text{Cd}_{0.2}\text{Hg}_{0.8}\text{Te}$ p - и p -типа проводимости. Результаты неполяризованных измерений для образцов с концентрациями электронов и дырок соответственно $6 \cdot 10^{15}$ и $7 \cdot 10^{15} \text{ см}^{-3}$ представлены на рис. 2. Видно, что в спектрах образца p -типа, в котором существует инверсионный поверхностный n -слой, S_- мода проявляется, но имеет малую интенсивность. В образце n -типа, имеющем аккумулирующий n^+ -слой, интенсивность этой моды резко возрастает, а ее положение в спектре не изменяется. Измерения образцов n -типа с концентрациями электронов $\sim 10^{14} \text{ см}^{-3}$ также не выявили сдвига S_- моды по частоте. Некоторая асимметрия контура этой линии в спектре образца n -типа (рис. 2) связана, по-видимому, с наложением на нее кластерной моды при 135 cm^{-1} .

Остановимся на причинах наблюдаемых закономерностей. Взаимодействие LO-фононов с коллективными междуподзонными возбуждениями двухмерной электронной плазмы аналогично взаимодействию LO-

фононов с коллективными возбуждениями плазмы в объеме полупроводника. Частоты комбинированных мод соответствуют нулям диэлектрической функции аккумулирующего (или инверсного) поверхностного слоя для электрических полей, перпендикулярных поверхности. Как показывает теория [6], при больших слоевых плотностях электронов N_s , для которых $\omega_{12} > \omega_{LO}$ (ω_{12} — частота одночастичного возбуждения между первой и второй подзонами), частота S_{\perp} -моды не зависит от N_s . Именно этим обстоятельством можно объяснить отсутствие сдвига частоты S_{\perp} -моды для образцов n- и p-типов проводимости с различными концентрациями носителей. Рост интенсивности S_{\perp} -моды в n-Cd_{0.2}Hg_{0.8}Te обусловлен изменением диэлектрической функции, вызванным ростом концентрации электронов в поверхностном слое образца.

Таким образом, в настоящей работе подтверждена природа полосы S_{\perp} , связанной с комбинированной модой LO-фонон — междуподзонное электронное возбуждение, в спектрах KP Cd_{0.2}Hg_{0.8}Te вблизи резонанса на энергетической щели E_1 . Помимо LO- и TO-мод центра зоны Бриллюэна в резонансных спектрах зарегистрирована кластерная мода, а также полоса, обусловленная антиструктурным дефектом в Cd_{0.2}Hg_{0.8}Te.

ЛИТЕРАТУРА

1. А л е ш е н к о Ю. А., В одопъя н о в Л. К., К о зы р е в С. П. Труды Всесоюзной конференции по физике полупроводников, Элм, Баку, 1982, т. 2, с. 28.
2. V o d o r u a n o v L. K. et al. Proc 17th Int. Conf. on the Physics of Semiconductors, San Francisco, 1984, ed. by W. Harrison, p. 947.
3. A m i r t h a r a j P. M., T i o n g K. K., P o l l a k F. H. J. Vac. Sci. and Technol., A1, 1744 (1983).
4. T i o n g K. K. et al. Solid State Commun., 50, 891 (1984).
5. M e n e n d e z J., C a r d o n a M., V o d o r u a n o v L. K. Phys. Rev., B31, 3705 (1985).
6. C h i n g L. Y. et al. Proc. 15th Int. Conf. on the Physics of Semiconductors, Kyoto, 1980, ed by S. T r o - ka, Y. Toyozawa, p. 951.
7. К о зы р е в С. П., В одопъя н о в Л. К., Т рибу л е Р. ФТТ, 25, 635 (1983).
8. Р о ман о в О. В., Б о жеволь н о в В. Б., М я с о е д о в Ю. Н. ФТП, 18, 1064 (1984).
9. L o u L. F., F r y e W. H. J. Appl. Phys., 56, 2253 (1984).
10. B u r s t e i n E., P i n c z u k A., B u c h n e r S. Proc. Int. Conf. on the Physics of Semiconductors, Edinburg, 1979, p. 1231.

Поступила в редакцию 11 мая 1986 г.